

# A simple visual proof of the Schröder-Bernstein theorem

Autor(en): **Tonien, Dongvu**

Objekttyp: **Article**

Zeitschrift: **Elemente der Mathematik**

Band (Jahr): **62 (2007)**

PDF erstellt am: **25.05.2024**

Persistenter Link: <https://doi.org/10.5169/seals-98917>

## Nutzungsbedingungen

Die ETH-Bibliothek ist Anbieterin der digitalisierten Zeitschriften. Sie besitzt keine Urheberrechte an den Inhalten der Zeitschriften. Die Rechte liegen in der Regel bei den Herausgebern.

Die auf der Plattform e-periodica veröffentlichten Dokumente stehen für nicht-kommerzielle Zwecke in Lehre und Forschung sowie für die private Nutzung frei zur Verfügung. Einzelne Dateien oder Ausdrucke aus diesem Angebot können zusammen mit diesen Nutzungsbedingungen und den korrekten Herkunftsbezeichnungen weitergegeben werden.

Das Veröffentlichen von Bildern in Print- und Online-Publikationen ist nur mit vorheriger Genehmigung der Rechteinhaber erlaubt. Die systematische Speicherung von Teilen des elektronischen Angebots auf anderen Servern bedarf ebenfalls des schriftlichen Einverständnisses der Rechteinhaber.

## Haftungsausschluss

Alle Angaben erfolgen ohne Gewähr für Vollständigkeit oder Richtigkeit. Es wird keine Haftung übernommen für Schäden durch die Verwendung von Informationen aus diesem Online-Angebot oder durch das Fehlen von Informationen. Dies gilt auch für Inhalte Dritter, die über dieses Angebot zugänglich sind.

---

## A simple visual proof of the Schröder-Bernstein theorem

---

Dongvu Tonien

Dongvu Tonien obtained his Bachelor in Mathematics and Computer Sciences at the University of Wollongong in 1999. After a one year stay at SUNY in Buffalo he completed his Ph.D. in Computer Sciences at the University of Wollongong in 2005. Since then he is a research fellow at the Telecommunications and Information Technology Research Institute.

### 1 Introduction

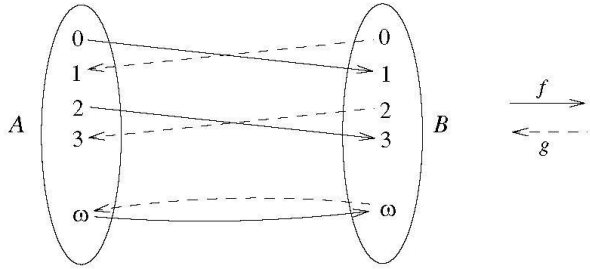
The Schröder-Bernstein theorem is the critical step in the demonstration that the cardinal numbers are ordered. The theorem asserts:

*Let  $A$  and  $B$  be sets. Let  $f$  be an injective mapping of  $A$  into  $B$  and  $g$  be an injective mapping of  $B$  into  $A$ . Then there exists a bijective mapping  $h$  of  $A$  into  $B$ .*

The purpose of this article is to show *explicitly* how to construct such a bijective mapping  $h$  in a very simple *visual* way that is much easier to remember than any of the previous proofs. That is because the construction of  $h$  in the general case is *exactly analogous* to the construction in the following special case.

*Special case.*  $A = B = \{0, 1, 2, 3, \dots, \omega\}$  and  $f(x) = x + 1$ ,  $g(x) = x + 1$ . That is,  $f(0) = 1$ ,  $f(1) = 2$ ,  $f(2) = 3, \dots$ ,  $f(\omega) = \omega$ , and  $g(0) = 1$ ,  $g(1) = 2$ ,  $g(2) = 3, \dots$ ,  $g(\omega) = \omega$ .

Das Schröder-Bernstein Theorem besagt, dass eine Bijektion zwischen zwei Mengen  $A$  und  $B$  existiert, sobald  $A$  injektiv nach  $B$  und  $B$  injektiv nach  $A$  abgebildet werden kann. Obwohl diese Behauptung nahezu trivial erscheint, ist ihr Beweis keineswegs offensichtlich. Man findet verschiedene Beweise dieses Theorems in beinahe jedem Algebra-Lehrbuch. Viele dieser Beweise sind jedoch nach der persönlichen Meinung des Autors nicht leicht verständlich, insbesondere für Studienanfänger. In diesem Aufsatz gibt der Autor deshalb einen einfachen anschaulichen Beweis, von dem er hofft, dass man ihn nie wieder vergisst, wenn man ihn einmal verstanden hat.

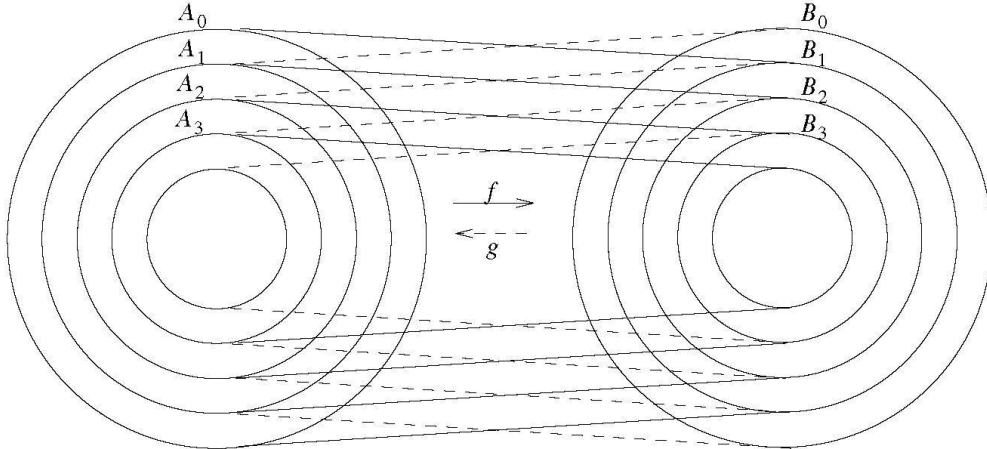
Fig. 1 Construction of  $h$  in the special case

In Fig. 1, we show how to construct a bijective mapping  $h$  such that for any  $a \in A$ , either  $h(a) = f(a)$  or  $h(a) = g^{-1}(a)$  as follows:  $h(2i) = f(2i) = 2i + 1$ ,  $h(2i + 1) = g^{-1}(2i + 1) = 2i$ ,  $h(\omega) = f(\omega) = g^{-1}(\omega) = \omega$ .

## 2 The proof

Similar to the special case, we now show *explicitly* how to construct a bijective mapping  $h$  such that for any  $a \in A$ , either  $h(a) = f(a)$  or  $h(a) = g^{-1}(a)$ , in the general case.

Let  $A_0 = A$ ,  $B_0 = B$ . For each natural number  $i$ , let  $A_{i+1} = g(B_i)$  and  $B_{i+1} = f(A_i)$ . Then  $A_0 \supset A_1 \supset A_2 \supset \dots$  and  $B_0 \supset B_1 \supset B_2 \supset \dots$ .

Fig. 2  $A_0 \supset A_1 \supset A_2 \supset \dots$  and  $B_0 \supset B_1 \supset B_2 \supset \dots$ 

Let  $C_0 = A_0 \setminus A_1$ ,  $C_1 = A_1 \setminus A_2$ , ..., and  $C_\omega = \bigcap A_i$ . Then  $A$  is partitioned into the following disjoint subsets  $C_0, C_1, \dots, C_\omega$ . Let  $D_0 = B_0 \setminus B_1$ ,  $D_1 = B_1 \setminus B_2$ , ..., and  $D_\omega = \bigcap B_i$ . Then  $B$  is partitioned into the following disjoint subsets  $D_0, D_1, \dots, D_\omega$ . Clearly,  $f$  maps  $C_i$  bijectively to  $D_{i+1}$  and  $g$  maps  $D_i$  bijectively to  $C_{i+1}$ .

Furthermore, since  $D_\omega \subset f(A)$  and

$$f^{-1}(D_\omega) = f^{-1}\left(\bigcap B_{i+1}\right) = \bigcap f^{-1}(B_{i+1}) = \bigcap A_i = C_\omega,$$

$f$  maps  $C_\omega$  bijectively to  $D_\omega$ . Similarly,  $g$  maps  $D_\omega$  bijectively to  $C_\omega$ .

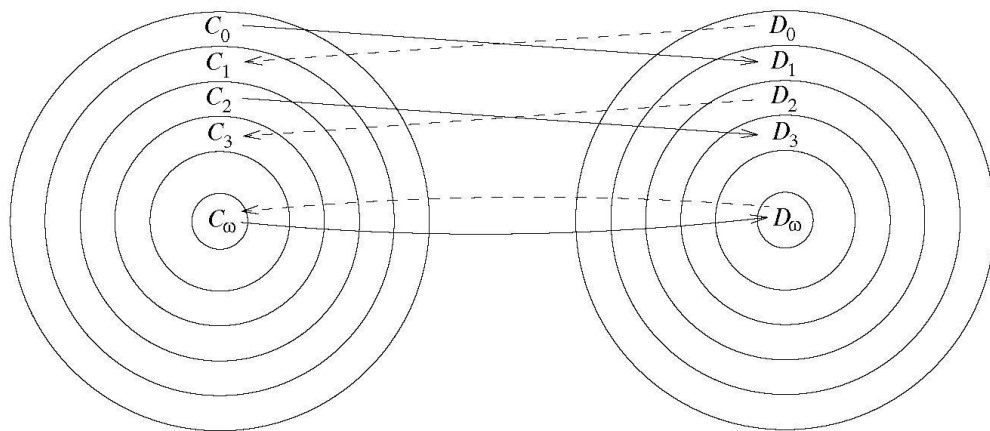


Fig. 3 Construction of  $h$  in the general case

The construction of  $h : A \rightarrow B$  is depicted in Fig. 3:  $h$  maps  $C_{2i}$  bijectively to  $D_{2i+1}$  as  $f$  does,  $h$  maps  $C_{2i+1}$  bijectively to  $D_{2i}$  as  $g^{-1}$  does, and  $h$  maps  $C_\omega$  bijectively to  $D_\omega$  as  $f$  (or  $g^{-1}$ ) does.

Dongvu Tonien  
 Telecommunications and Information  
 Technology Research Institute  
 University of Wollongong  
 NSW 2500, Australia  
 e-mail: dong@uow.edu.au